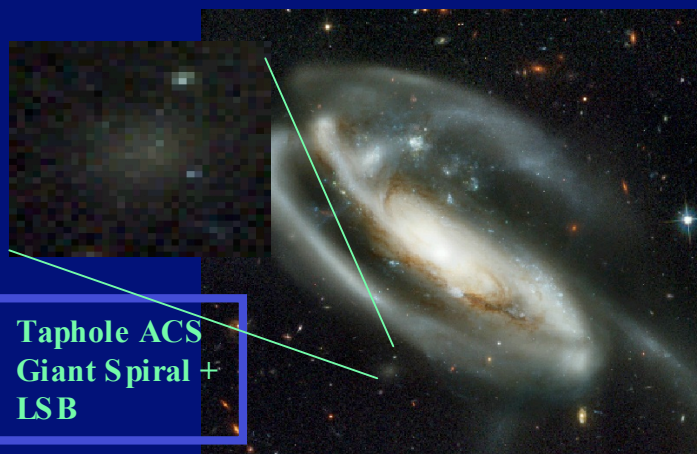


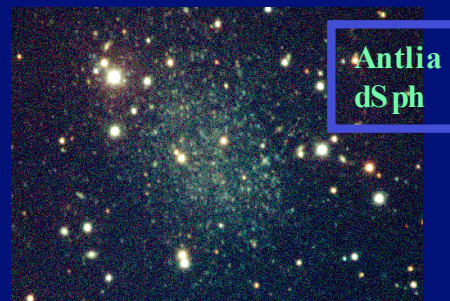
# Galaxias Enanas, de Bajo Brillo Superficial e Irregulares

Lectura: “Dwarf galaxies in Clusters”,  
Infante, Mieske & Hilker, 2003Ap&SS.285...87I

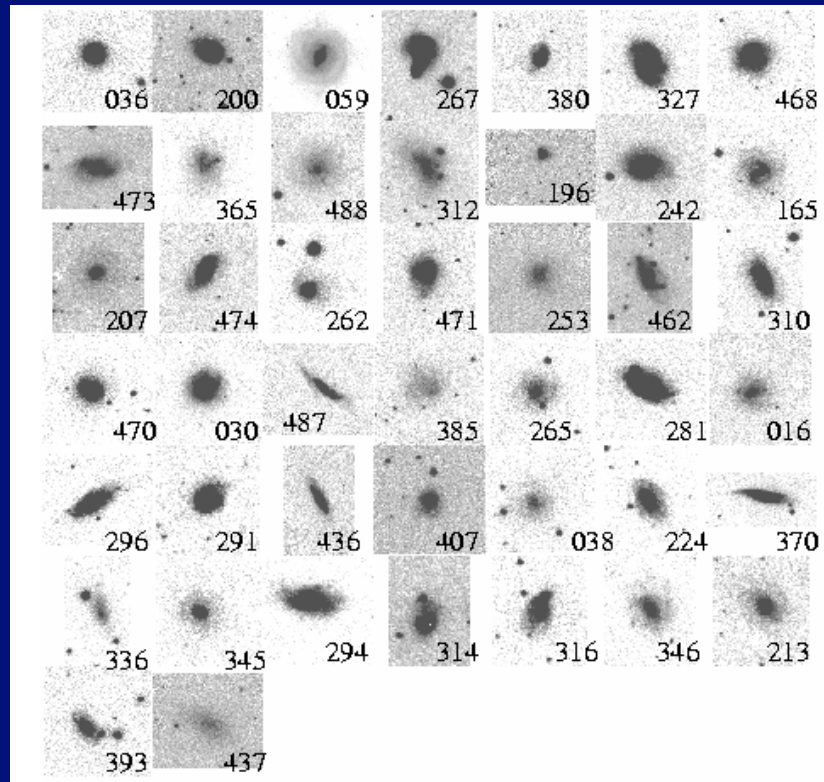
# ¿Qué tipo de objetos?



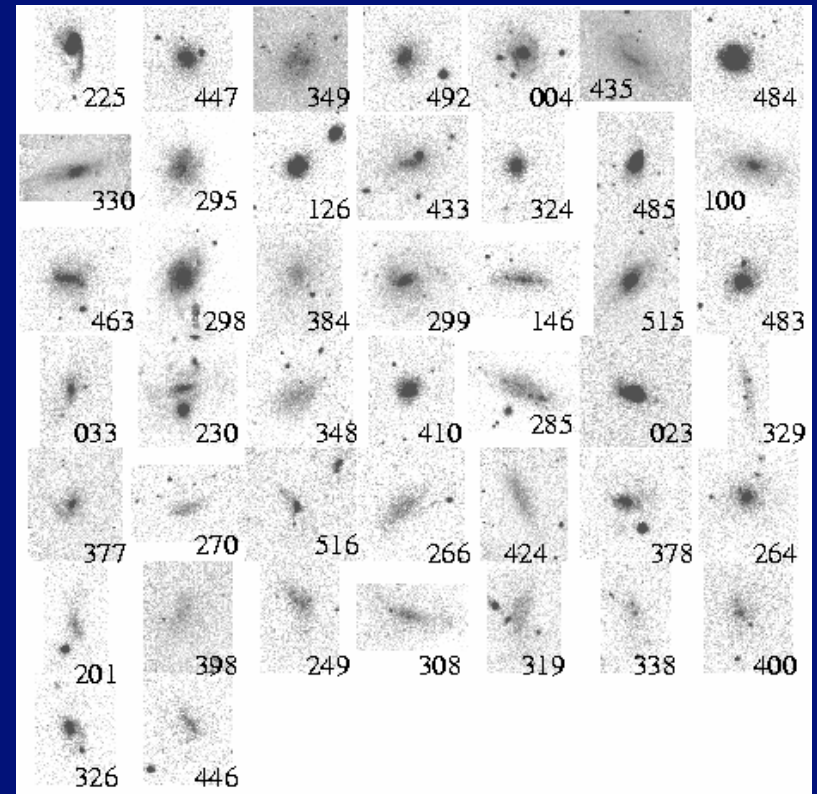
dE  
dSph  
dIrr  
LSB



# LSBGs de Galaz et al. 2002



Sorted by gas fraction  
 $M_{HI}/L_K = 0.028 \rightarrow 1.475$



# ¿cómo las encontramos?

<b>dE</b>	$M_V \geq -17$ , smooth exponential SB profile, elliptical isophotes
<b>dE,N</b>	as dE, but with significant compact luminosity excess - nucleus - in (or close to) its center
<b>dIrr</b>	$M_V \geq -17$ , irregular isophotes, local star formation
<b>dSph</b>	Local group faint dEs, or more general: the faintest dEs, as well outside the LG
<b>LSB</b>	$\mu_o \geq 22.5$ mag./arcsec <sup>2</sup> in B; NO morphological definition! (which is $2.5\sigma$ than SB mean for Freeman law)

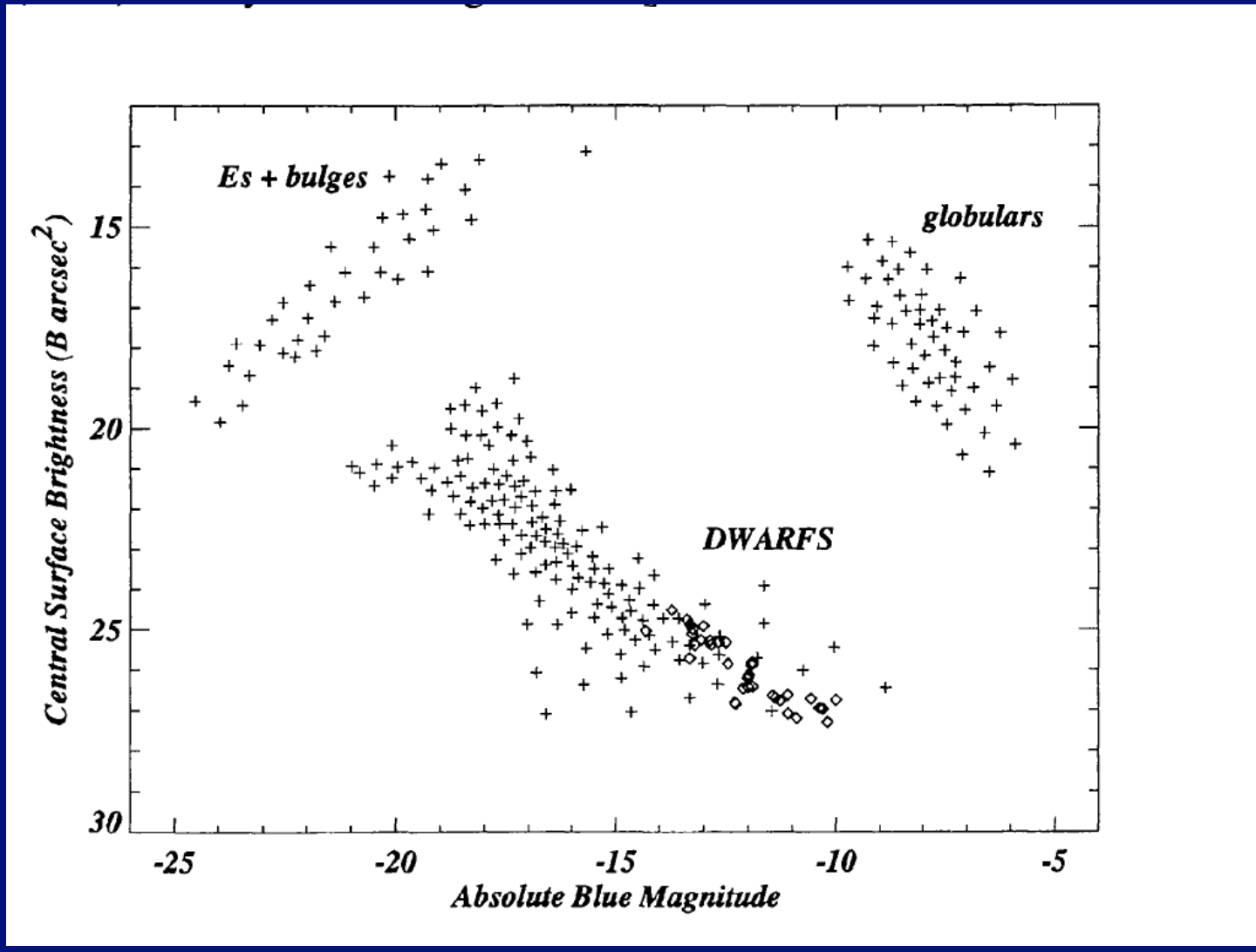
- **dE**, extensión de baja luminosidad de elípticas normales; obedecen las mismas relaciones. Ej. M32
- **dSph**, pobre en gas, sistemas difusos y siguen la ley  $r^{1/4}$ . No están en el mismo plano fundamental que las elípticas. Ej. NGC 147 y Leo I
- **dIrr**, extensión de baja luminosidad de espirales normales. Son, en general, más brillantes que dSph, ya que tienen formación de estrellas activas. Pueden ser precursoras de galaxias. Ej. SMC



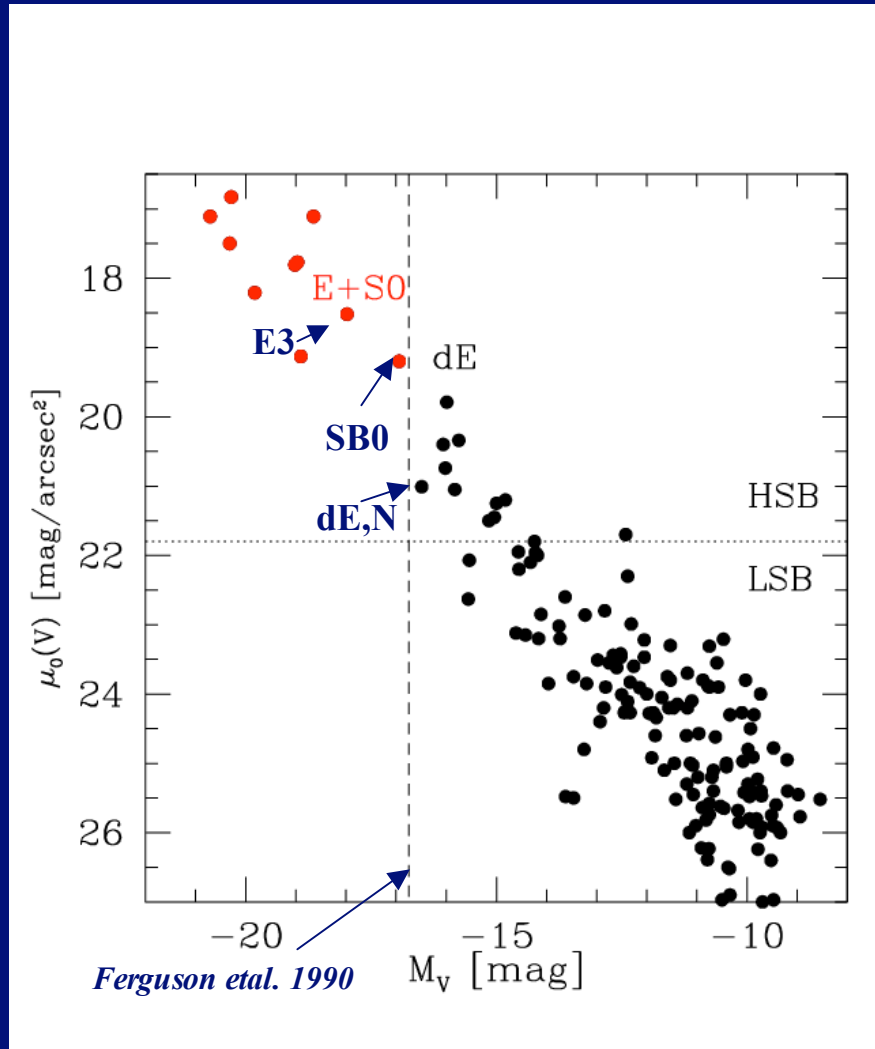
# Propiedades de Galaxias Enanas

1. Típicamente pobres en metales. No tanto como Población II
2. Muestran evidencia de más de un episodio de formación de estrellas.
3. Pueden ser nucleadas. Sus núcleos son como pequeños bulbos.
4. Razón masa luminosidad M/L muy grande. Masas medidas a partir del movimiento virial de estrellas.

# ¿cómo las clasificamos? e.g. $\mu_0$ vs. M diagrama

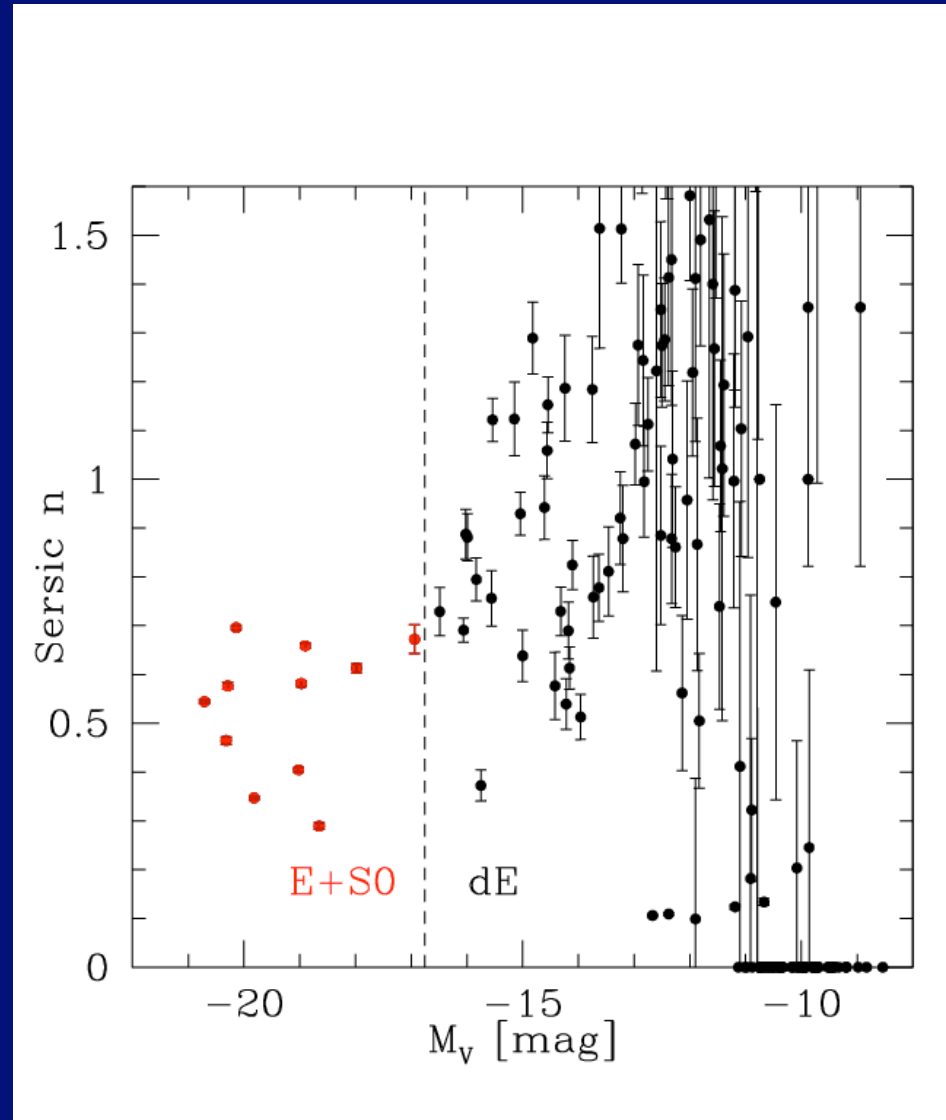


# $\mu_0$ vs. $M_V$ en Fornax



# Indice de Sersic n vs. M<sub>V</sub> en Fornax

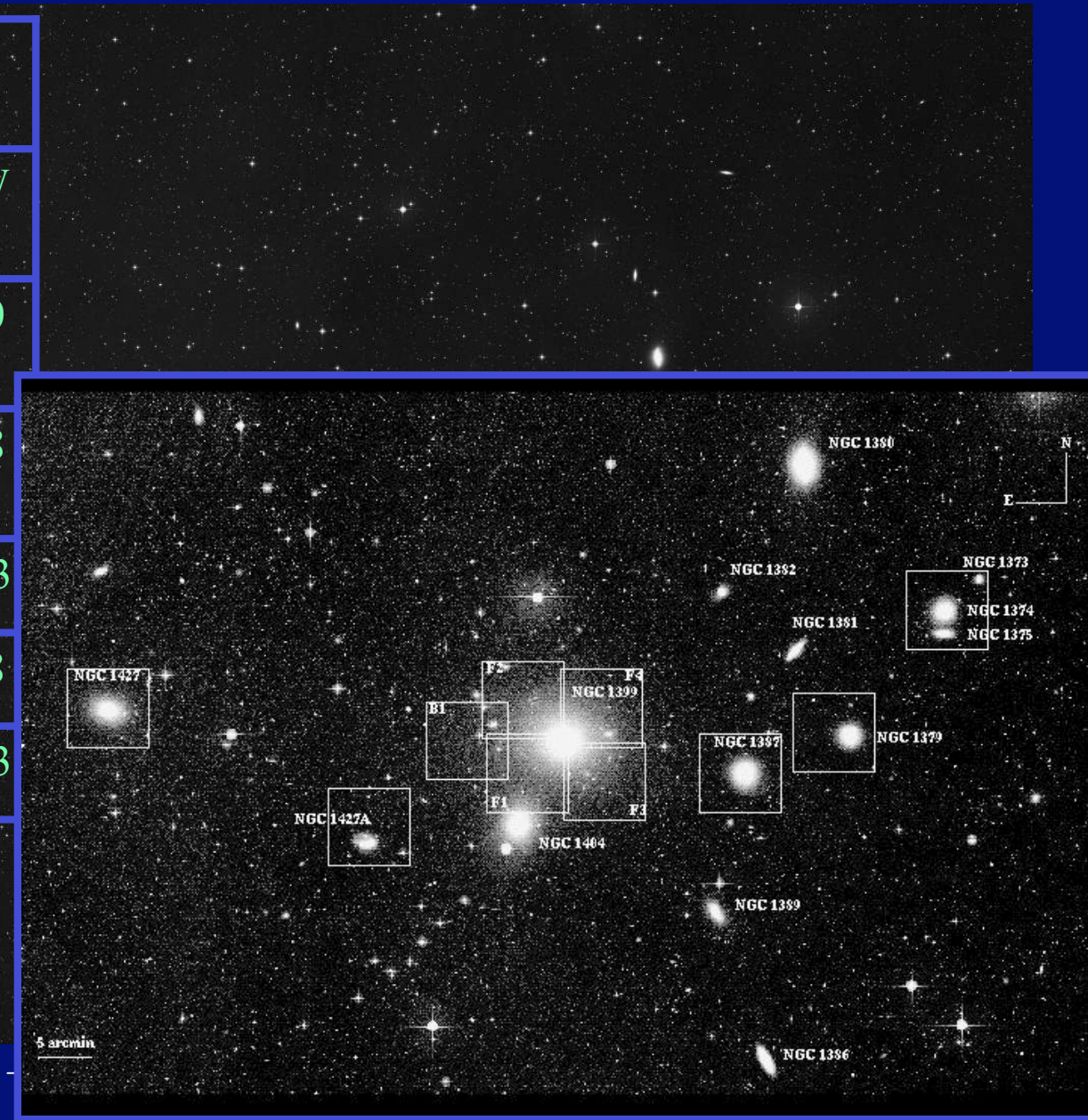
$$I(r) = I(o)e^{-\left(\frac{r}{h}\right)^n}$$



# Fornax

Distance (Mpc)	20	FE
Velocity Dispersion (km s <sup>-1</sup> )	374	DW
Core Radius (Mpc)	0.31	F90
Number of Giants (E/S0/Sab/Sb/Irr)	40	F88
Dwarfs/Giants	7.92	H03
N(dE)/N(dE+dIrr)	0.93	F88
LF, faint end slope	1.38	H03

**H03:** Hilker et al 2003, in prep.  
**FE:** Ferrarese et al. 2000  
**DW:** Drinkwater et al. 2001  
**F90:** Ferguson and Sandage, 1990  
**F88:** Ferguson and Sandage, 1988.



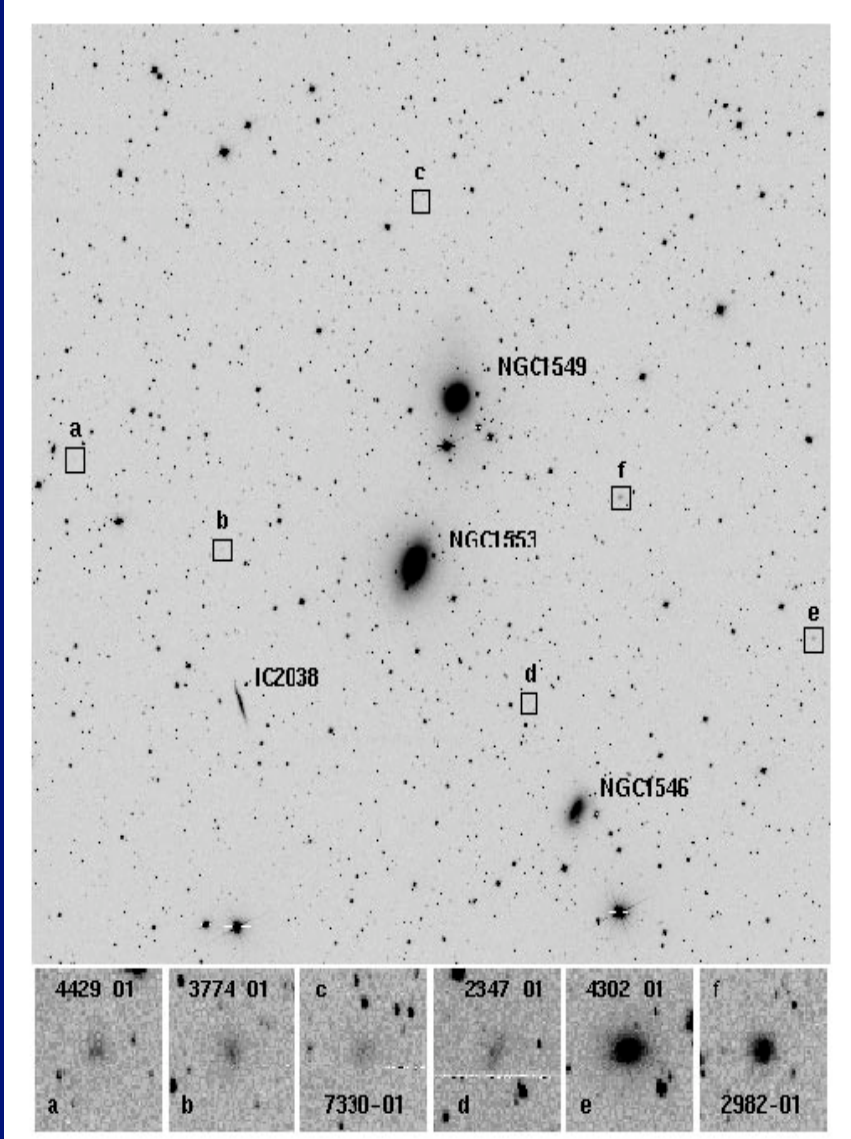
# Doradus

Distance (Mpc)	17.2	C00
Velocity Dispersion (km s <sup>-1</sup> )	250	F90
Core Radius (Mpc)	0.29	F90
Number of Giants (E/S0/Sab/Sb/Irr)	33	F90
Dwarfs/Giants	1.3	F90
N(dE)/N(dE+dIrr)	0.78	C00
	0.67	F90
LF, faint end slope	1.9?	C03

C00: Carrasco et al. 2000

C03: Carrasco et al. 2003

F90: Ferguson and Sandage, 1990



deg.